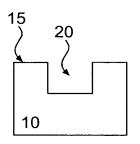
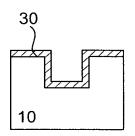
Sheet 1 of 5 Andricacos, et al. YOR920030376US1 RMT





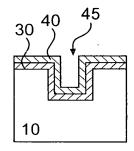
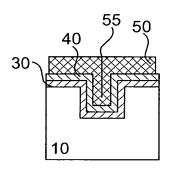
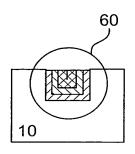


FIG. 1A FIG. 1B

FIG. 1C





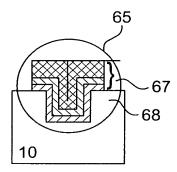
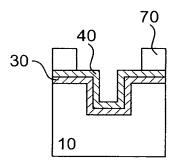
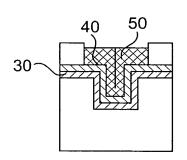


FIG. 1D FIG. 1E

FIG. 1F

Sheet 2 of 5 YOR920030376US1





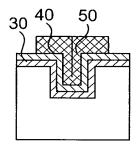


FIG. 2A

FIG. 2B

FIG. 2C

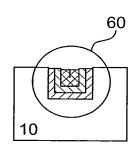


FIG. 2D

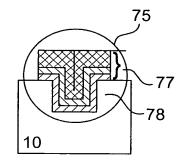
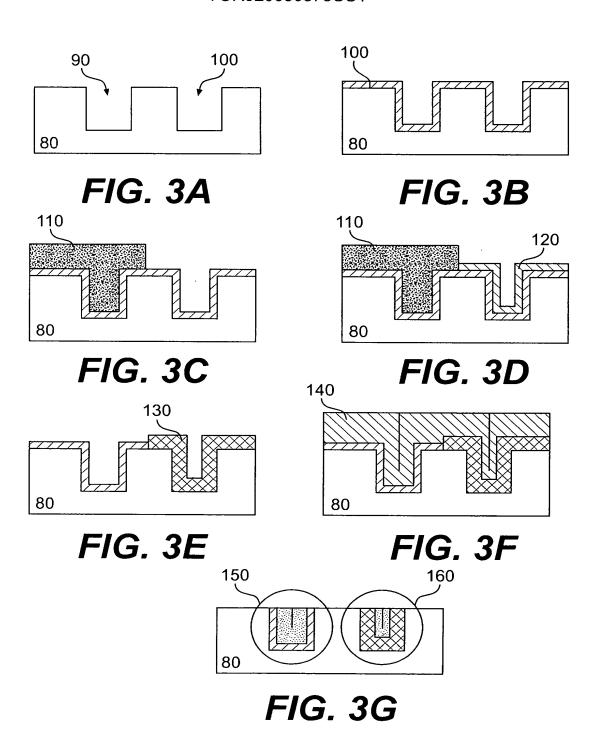


FIG. 2E

Sheet 3 of 5 YOR920030376US1



Sheet 4 of 5 YOR920030376US1

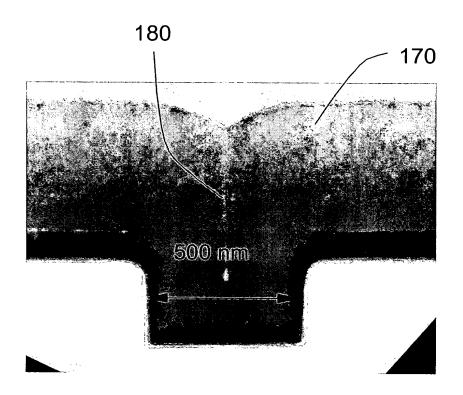
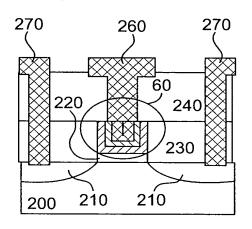


FIG. 4

Sheet 5 of 5 YOR920030376US1



270 260 270 220' 240 230 200 210 210

FIG. 5A

FIG. 5B